

V-15 鉄筋降伏後ににおけるコンクリートからの引き抜き

日本大学 岸生貢・山尾 芳秀
東京大学 周社 良
東京大学 榎原 孝哲

1. まえがき

地震のような動的外力を受けるRC構造物を合理的に設計するためには、その復元力特性を正確に把握することが重要となっている。RC橋脚では、主鉄筋降伏以後、鉄筋のフーチングからの抜け出しが復元力特性に大きく影響すると言われている。(かしこの点に関する研究成果は極めて少ない。)本研究では、フーチング部分をモデル化して鉄筋の引き抜き試験を3つのシリーズで行なつた。標準化荷重時の鉄筋の抜け出しあ量を推定することを目的とし、主として鉄筋降伏以後の繰返しによる抜け出しあ量およびフーチング内部の歪分布挙動について検討を行なった。

2. 実験概要

供試体の形状および寸法は、図-1および表-1に示す通りである。また、帶鉄筋は、その影響をさけるために、使用しなかった。

実験に使用した 鉄筋径およびコンクリート強度の要因の組合せを表-2に示す。

なお、鉄筋は、ネジフニ鉄筋を使用した。

載荷方法は、図-1に示したガイドの上にセニターホールジャッキおよびセニターホールロードセルを取りつけ、繰返しによる影響を考慮して、次のように行なつた。

シリーズⅠ：単純引き抜き。

シリーズⅡ：荷重制御による繰返し引き抜き。(鉄筋降伏と同時に、同一荷重で4回繰返し次の荷重へ。)

シリーズⅢ：変位制御による繰返し引き抜き。(鉄筋降伏時の変位の2倍、3倍、7倍と上げていく。)

荷重端の変位量および鉄筋の歪を測定した。なお、鉄筋の歪は、10~15cmの間隔にて測定した。

3. 実験結果および考察

図-2、3は実験結果の一例として、 $D25 \cdot f'_c = 213 \text{ kg/cm}^2$ についての歪分布

表-1 供試体寸法

(cm)

	a	b	c	d
D19	20	40	20	60
D25	25	45	25	75
D32	25	45	25	96

を示した。図-2はシリーズⅠの鉄筋降伏前の歪分布であり、コンクリート内部ではほぼ直線的に変化している。図-3はシリーズⅡ、Ⅲの鉄筋降伏後の歪分布である。歪は降伏すると急激に増加し、降伏域内ではほぼ直線的に変化している。シリーズⅠとⅢを比較すると降伏後の繰返しによる影響が大きいことがわかる。同一荷重で1回目と4回目繰返しした後の歪を比較すると、特に荷重端付近での歪の増加が顕著である。図-4にシリーズⅠ、Ⅲの荷重端変位を示す。図の計算値は、コンクリート内部の歪を積分したものである。実測値と計算値はほぼ一致し、コンクリート内部の鉄筋の伸びが荷重端での鉄筋の抜け出しを導くことと確認された。また、シリーズⅢでは、大きな残留変位が生じてあり、それを除けばシリーズⅠと同一であることがわかる。図-5はシリーズⅡの荷重端変位を示すものである。繰返しによる変位の増加は大きく、荷重増加

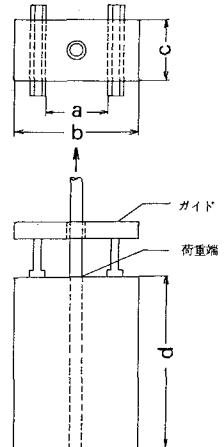


図-1 供試体形状

表-2 実験の要因の組合せ

鉄筋 (降伏点)	コンクリート強度	載荷方法
D19 ($SD35.3782 \text{ kg/cm}^2$)	213 kg/cm^2	シリーズⅠ
D25 ($SD35.3769 \text{ kg/cm}^2$)	806 kg/cm^2	シリーズⅡ
D32 ($SD35.3664 \text{ kg/cm}^2$)		シリーズⅢ

とがわかる。図-5はシリーズⅡの荷重端変位を示すものである。繰返しによる変位の増加は大きく、荷重増加

に伴ない顕著なものになつてゐる。

以上の結果よりコンクリート内部の歪分布は、図-6のよう 2つの直線により近似される。ここで l_y は降伏域の深さ、 ε_y は降伏時の歪である。鉄筋の伸びを横分したもののが荷重端での変位よどあるから δ は次のように書ける。

$$\delta = \frac{1}{2} \left\{ (\varepsilon_y + \varepsilon) l_y + \varepsilon_y (l_0 - l_y) \right\}$$

l_y は鉄筋径 D とコンクリート強度 f_c' の関数として実験より

$$l_y = 2.02 \times 10^{-3} \times \frac{D(\varepsilon - \varepsilon_y)}{f_c'^{\frac{1}{3}}}$$

とし $l_0 - l_y$ は、平均付着応力を実験より $u = 8.5 f_c^{\frac{1}{3}} \cdot D^{-\frac{1}{2}}$ とすると、下式で与えられる。(単位 kg, cm)

$$l_0 - l_y = \frac{f_y \pi D^2 / 4}{8.5 f_c^{\frac{1}{3}} D^{\frac{1}{2}} \pi D} = \frac{f_y D^{\frac{1}{2}}}{34 f_c^{\frac{1}{3}}}$$

よって δ は次式となる。

$$\delta = \frac{1}{2} \left\{ ((\varepsilon - \varepsilon_y) + 2\varepsilon_y) \frac{2D \times 10^3 (\varepsilon - \varepsilon_y)}{f_c'^{\frac{1}{3}}} + \varepsilon_y \cdot \frac{D}{4u} f_y \right\} \quad \text{①}$$

一方今回の実験より

(P:荷重, P_y :降伏荷重)

$$(P-P_y)/P_y < 0.1 \text{ の時 } \varepsilon - \varepsilon_y = 2 \times 10^{-1} \cdot (P-P_y)/P_y \quad \text{②} \quad \varepsilon = \frac{(P-P_y)}{P_y} - 1.12$$

$$(P-P_y)/P_y \geq 0.1 \text{ の時 } \varepsilon - \varepsilon_y = 10^{-4}$$

の関係が認められるので、仕事の P に対する ①, ②より P-f 曲線が描ける。

なお、鉄筋降伏前の場合は、

$$\delta = \frac{1}{2} \varepsilon l_0 = \frac{E_s \varepsilon^2 D^{\frac{1}{2}}}{68 f_c'^{\frac{1}{3}}}$$

と与えられる。

図-7 に P-f 曲線の実測値と計算値を示した。このようにコンクリート内部の歪分布をモデル化することによって鉄筋の抜け出し量を推定することが可能となる。

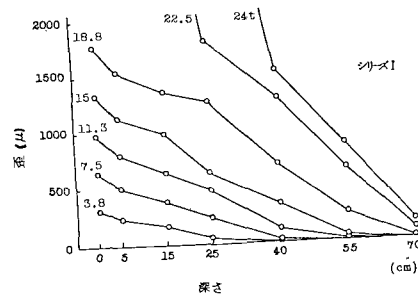


図-2 鋼筋前の歪分布

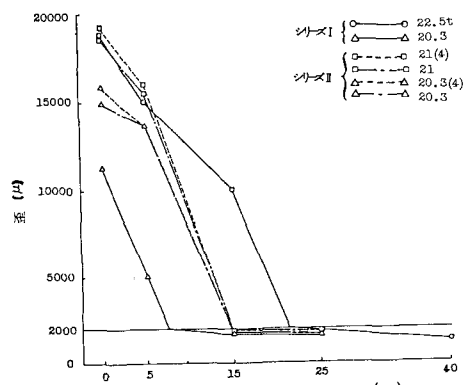


図-3 鋼筋後の歪分布

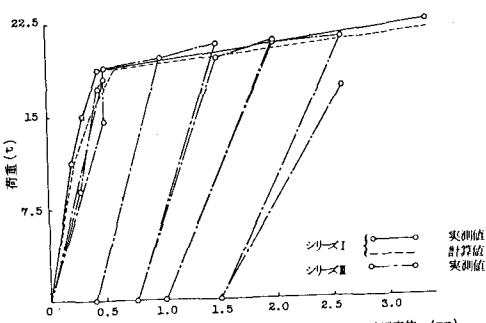


図-4 荷重-変位関係

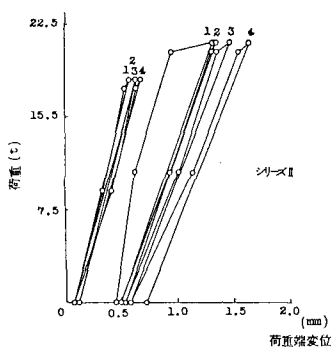


図-5 荷重-変位関係

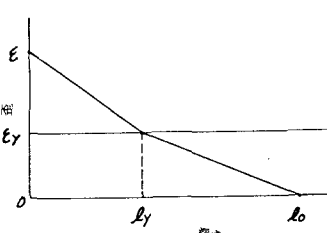


図-6 歪分布

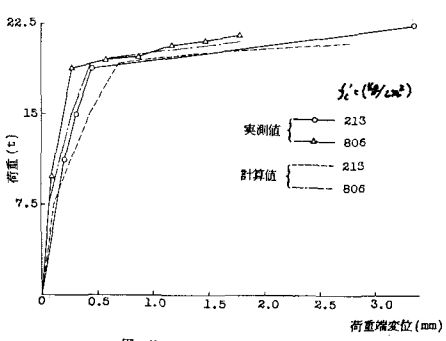


図-7 荷重-変位関係